

Рис. 3. Сравнение синтетических радиокарт и наблюдений Сибирского Радиогелиографа для AR13663 в момент времени 2024-05-05 05:00:00

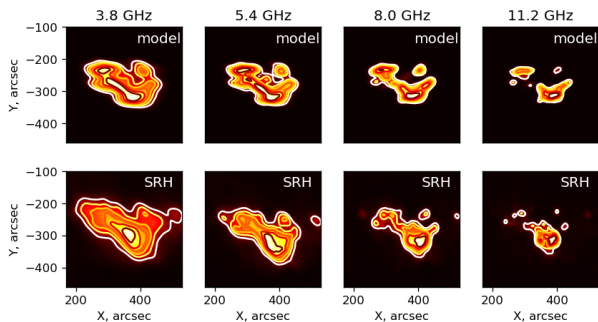


Рис. 4. Сравнение синтетических радиокарт и наблюдений Сибирского Радиогелиографа для AR13664 в момент времени 2024-05-09 04:00:00

ЗАКЛЮЧЕНИЕ

Можно утверждать по нескольким признакам, что с помощью ruAMPР получены физически до-

стоверные модели магнитного поля и радиоизлучения из обеих активных областей. Во-первых, порядок величины свободной энергии в 10^{32} эрг достаточен для возникновения нескольких мощных вспышек X-класса, которые действительно наблюдались. Во-вторых, пространственная структура модельных радиоисточников качественно согласуется с наблюдаемыми данными. В частности, хорошо воспроизводится форма и местоположение радиоисточников.

СПИСОК ЛИТЕРАТУРЫ

Алтынцев А., Лесовой С., Глоба М. и др. Многоволновой Сибирский Радиогелиограф // Солнечно-земная физика. 2020. Т. 6, № 2. С. 30–40.

Нита Г.М., Флейшман Г.Д., Кузнецов А.А. и др. Трёхмерное Радио и Рентгеновское Моделирование и Анализ Данных: Раскрытие Сложности Вспышек // ApJ. 2015. Т. 799, № 2. С. 236.

Песнелл У.Д., Томпсон Б.Дж., Чемберлин П.С. Обсерватория Солнечной Динамики (SDO) // Солнечная физика. 2012. Т. 275, № 1–2. С. 3–15.

Уитленд М.С., Старрок П.А., Румелиотис Г. Оптимизационный Подход к Восстановлению Бессиловых Полей // ApJ. 2000. Т. 540, № 2. С. 1150–1155.

Флейшман Г.Д., Кузнецов А.А. Быстрые гиросинхротронные коды // ApJ. 2010. Т. 721. С. 1127–1141.

Флейшман Г.Д., Кузнецов А.А. Теория Гирорезонанса и Свободно-Свободных Излучений от Не-Максвелловских Квазистационарных Электронных Распределений // ApJ. 2014. Т. 781, № 2. С. 77.

URL: <https://github.com/maria-globa/srhdata> (дата обращения 31.05.2024)